



安徽富信半导体科技有限公司

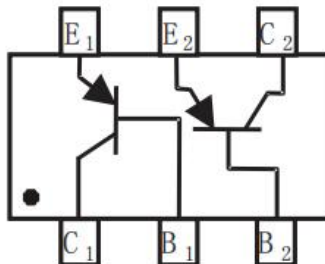
ANHUI FOSAN SEMICONDUCTOR TECHNOLOGY CO., LTD.

MMDT5401D

SOT-23-6L Bipolar Transistor 双极型三极管

■ Features 特点

PNP+PNP High Voltage 高压



■ Absolute Maximum Ratings 最大额定值

| Characteristic 特性参数 | Symbol 符号 | Rating 额定值 | Unit 单位 |
|---|---------------------------------------|----------------|---------|
| Collector-Base Voltage 集电极基极电压 | V _{CBO} | -160 | V |
| Collector-Emitter Voltage 集电极发射极电压 | V _{CEO} | -150 | V |
| Emitter-Base Voltage 发射极基极电压 | V _{EBO} | -5 | V |
| Collector Current 集电极电流 | I _C | -200 | mA |
| Power dissipation 耗散功率 | P _C (T _a =25°C) | 300 | mW |
| Thermal Resistance Junction-Ambient 热阻 | R _{θJA} | 417 | °C/W |
| Junction and Storage Temperature 结温和储藏温度 | T _J , T _{stg} | -55 to +150 °C | |

■ Device Marking 产品打标

| | |
|---------|-----|
| Marking | K4S |
|---------|-----|



安徽富信半导体科技有限公司

ANHUI FOSAN SEMICONDUCTOR TECHNOLOGY CO., LTD.

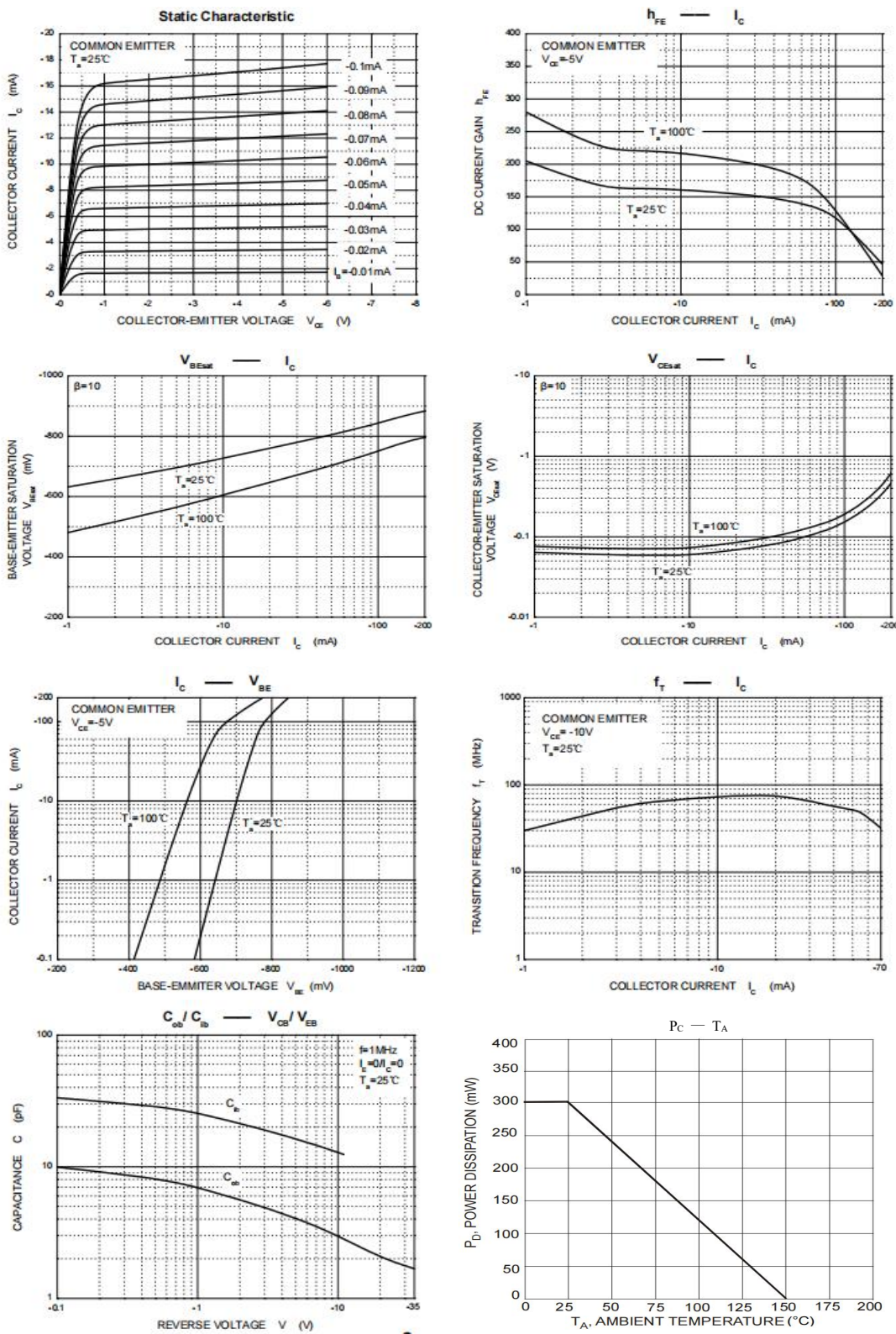
MMDT5401D

■ Electrical Characteristics 电特性(PNP)

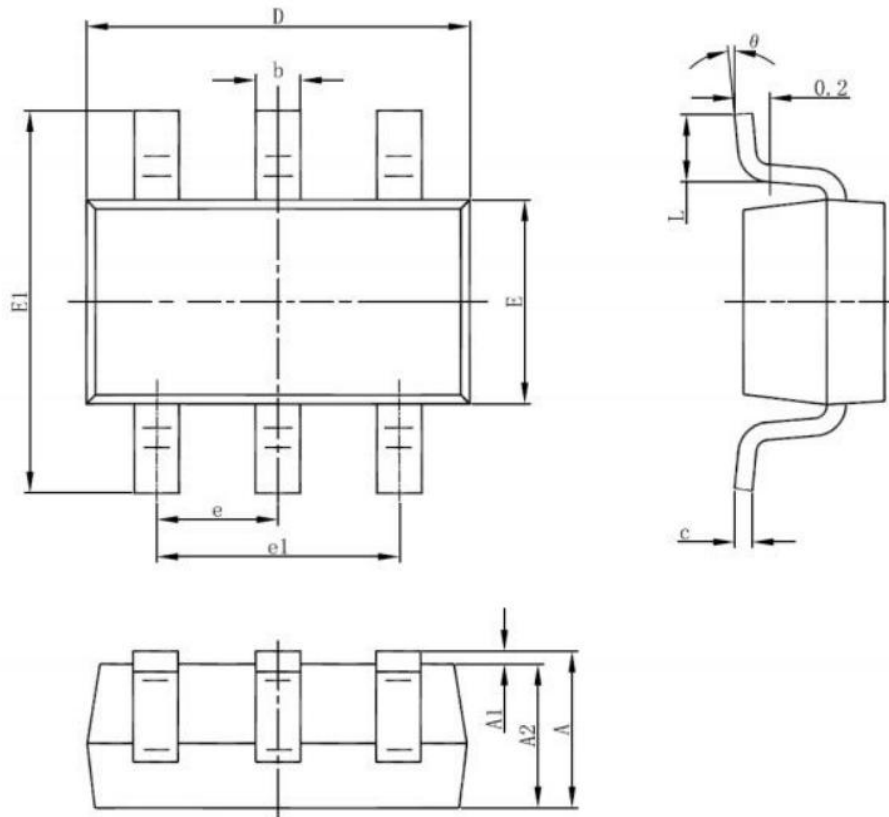
($T_A=25^\circ\text{C}$ unless otherwise noted 如无特殊说明, 温度为 25°C)

| Characteristic 特性参数 | Symbol 符号 | Min 最小值 | Type 典型值 | Max 最大值 | Unit 单位 |
|--|--------------------------|------------|-------------|--------------|------------|
| Collector-Base Breakdown Voltage 集电极基极击穿电压($I_C=-100\mu\text{A}$, $I_E=0$) | BV_{CBO} | -160 | — | — | V |
| Collector-Emitter Breakdown Voltage 集电极发射极击穿电压($I_C=-1\text{mA}$, $I_B=0$) | BV_{CEO} | -150 | — | — | V |
| Emitter-Base Breakdown Voltage 发射极基极击穿电压($I_E=-10\mu\text{A}$, $I_C=0$) | BV_{EBO} | -5 | — | — | V |
| Collector-Base Leakage Current 集电极基极漏电流($V_{\text{CB}}=-120\text{V}$, $I_E=0$) | I_{CBO} | — | — | -50 | nA |
| Emitter-Base Leakage Current 发射极基极漏电流($V_{\text{EB}}=-3\text{V}$, $I_C=0$) | I_{EBO} | — | — | -50 | nA |
| DC Current Gain 直流电流增益($V_{\text{CE}}=-5\text{V}$, $I_C=-1\text{mA}$) | $H_{\text{FE}}(1)$ | 50 | — | — | |
| DC Current Gain 直流电流增益($V_{\text{CE}}=-5\text{V}$, $I_C=-10\text{mA}$) | $H_{\text{FE}}(2)$ | 60 | — | 240 | |
| DC Current Gain 直流电流增益($V_{\text{CE}}=-5\text{V}$, $I_C=-50\text{mA}$) | $H_{\text{FE}}(3)$ | 50 | — | — | |
| Collector-Emitter Saturation Voltage 集电极发射极饱和压降($I_C=-10\text{mA}$, $I_B=-1\text{mA}$) ($I_C=-50\text{mA}$, $I_B=-5\text{mA}$) | $V_{\text{CE(sat)}}$ | — | — | -0.2 -0.5 | V |
| Base-Emitter Saturation Voltage 基极发射极饱和压降($I_C=-10\text{mA}$, $I_B=-1\text{mA}$) ($I_C=-50\text{mA}$, $I_B=-5\text{mA}$) | $V_{\text{BE(sat)}}$ | — | — | -1 -1 | V |
| Transition Frequency 特征频率($V_{\text{CE}}=-10\text{V}$, $I_C=-10\text{mA}$) | f_T | 100 | — | 300 | MHz |
| Noise Figure 特征频率($V_{\text{CE}}=-5\text{V}$, $I_C=-200\mu\text{A}$, $f=1\text{KHz}$) | NF | — | — | 8 | db |
| Output Capacitance 输出电容($V_{\text{CB}}=-10\text{V}$, $I_E=0$, $f=1\text{MHz}$) | C_{ob} | — | — | 6 | pF |

■ Typical Characteristic Curve 典型特性曲线



■ Dimension 外形封装尺寸



| Symbol | Dimensions In Millimeters | | Dimensions In Inches | |
|--------|---------------------------|-------|----------------------|-------|
| | Min | Max | Min | Max |
| A | 1.050 | 1.250 | 0.041 | 0.049 |
| A1 | 0.000 | 0.100 | 0.000 | 0.004 |
| A2 | 1.050 | 1.150 | 0.041 | 0.045 |
| b | 0.300 | 0.500 | 0.012 | 0.020 |
| c | 0.100 | 0.200 | 0.004 | 0.008 |
| D | 2.820 | 3.020 | 0.111 | 0.119 |
| E | 1.500 | 1.700 | 0.059 | 0.067 |
| E1 | 2.650 | 2.950 | 0.104 | 0.116 |
| e | 0.900 | 1.00 | 0.035 | 0.039 |
| e1 | 1.800 | 2.000 | 0.071 | 0.079 |
| L | 0.300 | 0.600 | 0.022 | 0.026 |
| θ | 0° | 8° | 0° | 8° |